Рисунки к статье Е.А.Покушалова и соавт. «Инцизионное трепетание предсердий...»

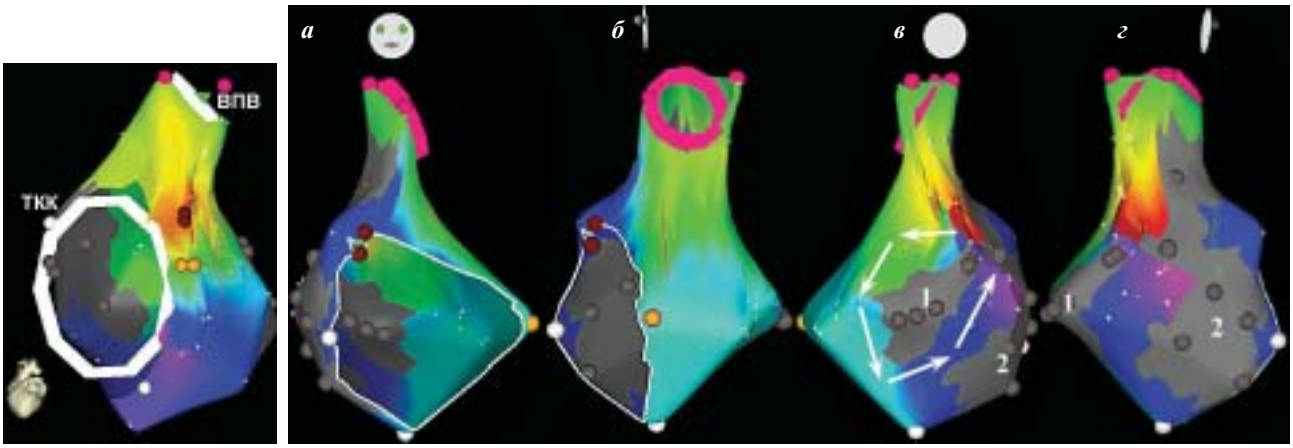

Рис. 2 (вверху слева). Активационное 3D-изображение правого предсердия в левой косой проекции (LAO-30°). Здесь и далее, красный цвет соответствует наиболее ранней предсердной активации в области септального ДПП кпереди от проекции пучка Гиса (жёлтые маркеры), маркеры бордового цвета - точки радиочастотного воздействия, ВПВ - верхняя полая вена, ТКК - трикуспидальный клапан.
Рис. 7 (вверху справа). Активационная 3D карта правого предсердия. Проекции: передняя (а), левая боковая (б), задняя (в), правая косая (RAO-120°, г), 1 - атриотомный рубец, 2 - периануларный рубец. Белыми стрелками обозначена траектория циркуляции. Бордовые точки - аблация в области переднего правостороннего ДПП.

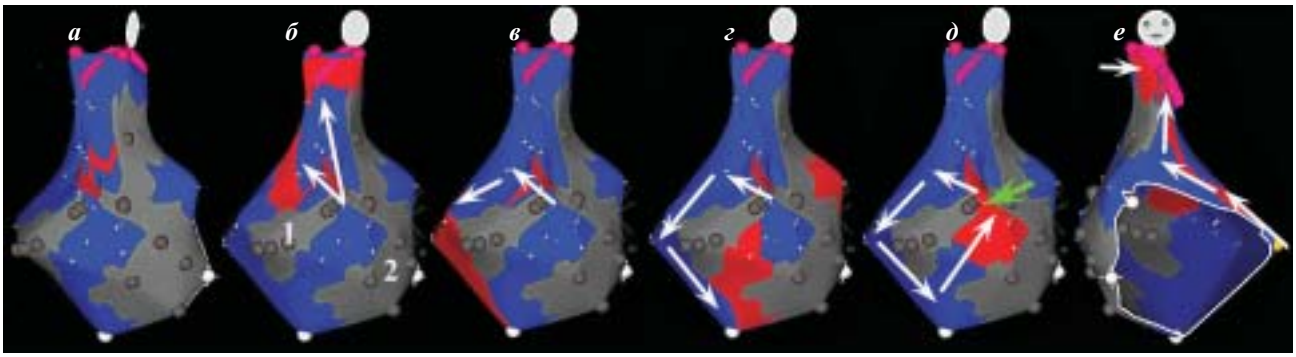

Рис. 8. Распространение возбуждения по правому предсердию (propagation-map). Проекция: правая косая (RAO-120°). Обозначения - как на рис. 7. Зелёная стрелка показывает критический перешеек: участок между двумя рубцами. Фрагмент е иллюстрирует пассивную активацию трёхстворчатого клапана и межпредсердной перегородки с эффектом «слияния» под устьем верхней полой вены.

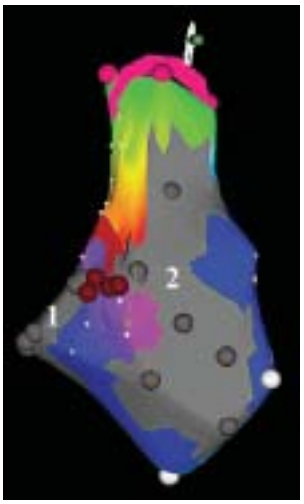

Рис. 9 (слева). Электроанатомическая картина в процессе аблации - правое предсердие в правой боковой проекции.

Рисунок к статье Е.А.Покушалова и соавт. «Феномен внутрипредсердной блокады второй степени...»

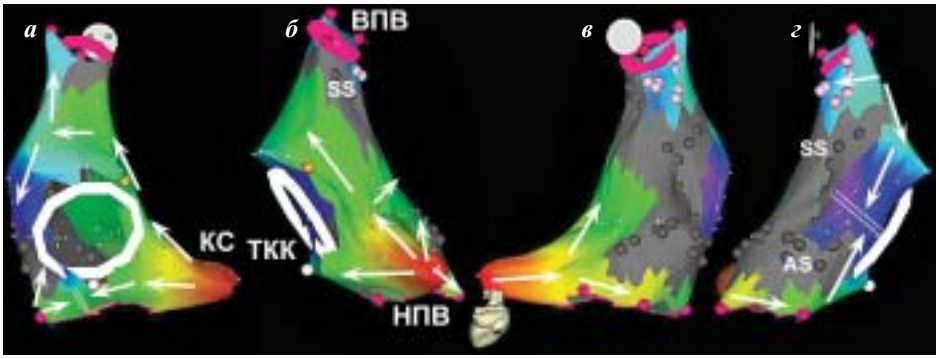

Рис. 3 (вверху справа). Активационное 3D-изображение правого предсердия. Проекции - передне-задняя (а), правая боковая (б), задне-передняя (в) и левая боковая (г). Здесь и далее, ВПВ - верхняя полая вена, НПВ - нижняя полая вена, ТКК - трикуспидальный клапан, КС - коронарный синус, AS - атриотомный рубец (atriotomical scar), SS - септальный рубец (septal scar); белые стрелки указывают направление активации, двойные линии - область слияния фронтов возбуждения; розовые маркёры определяют зону, которая активируется каждым вторым циклом трепетания.

Рисунки к статье Е.А.Покушалова и соавт. «Феномен внутрипредсердной блокады второй степени...»

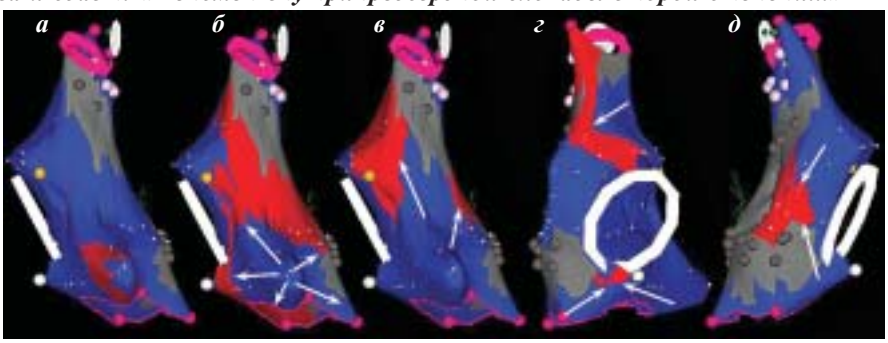

Рис. 4 (слева). Последовательная активация правого предсердия (propagation mapping). Проекции - левая косая (LAO-60°; а-в), прямая (AP, г), правая косая (RAO-30°, д).

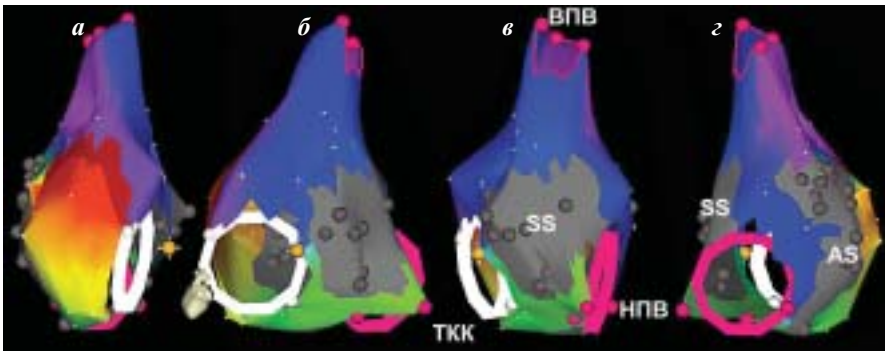

Рис. 9 (слева). Активационное 3D-изображение правого предсердия. Проекции: а - правая косая (RAO-30°), б - левая косая (LAO-30°), в - левая боковая (LL), г - задняя (PA).

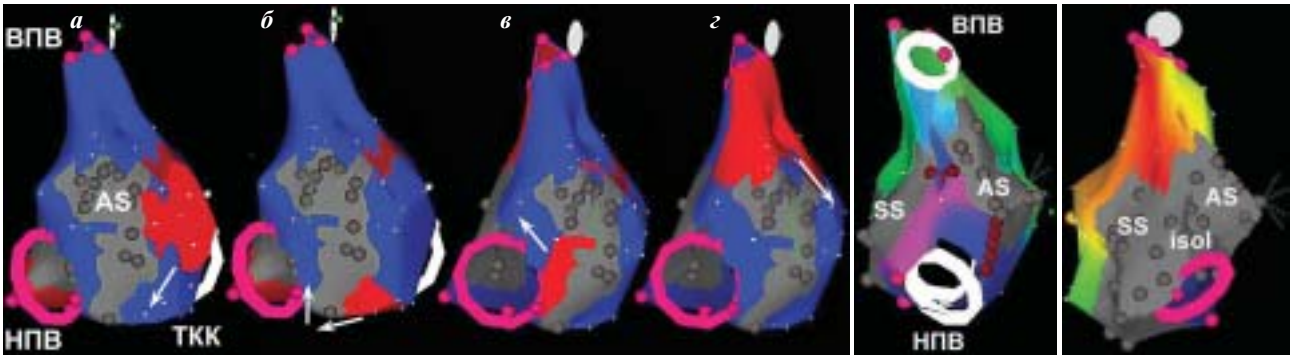

Рис. 10 (вверху слева). Последовательная активация правого предсердия (propagation mapping). Проекции - правая боковая (RL, а-б), правая косая (RAO-120-°; в-г).
Рис. 11 (вверху посередине). 3D-изображение правого предсердия после завершения аблационных линий. Проекция задняя прямая (PA).
Рис. 12 (вверху справа). Активационное 3D-изображение правого предсердия при индукции нового вида ТП. Проекция задняя прямая (PA), Isol - участок между двумя рубцами, изолированный аблационными линиями.

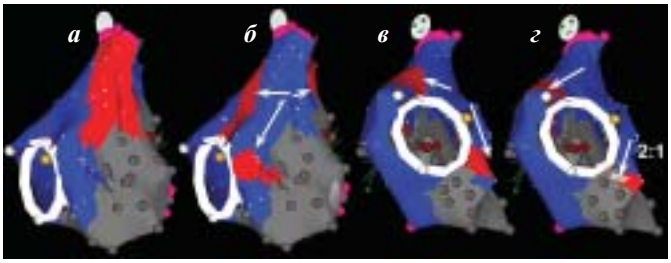

Рис. 13. Последовательная активация правого предсердия (propagation mapping). Проекции - левая косая (LAO-120°; а-б), левая косая (LAO-30°; в-д).

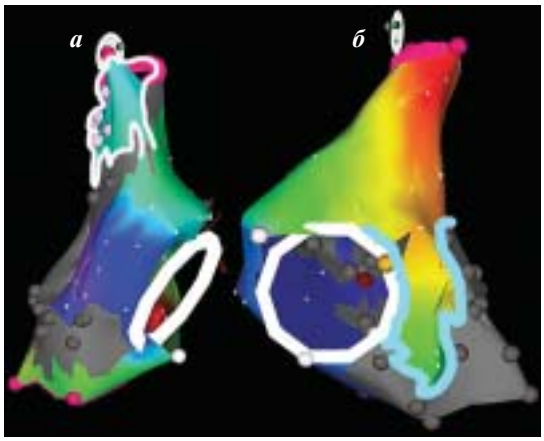

Рис. 16. Границы и «входные ворота» (стрелка) блокированных зон: а - правое предсердие, пациент К., проекция RAO-30°, б - правое предсердие, пациент Н., проекция LAO-60°.